

# 高盛土下に埋設される排水管の変形挙動(遠心模型実験)

大阪市立大学 正会員 寒竹英貴(現中央復建コンサルタンツ)・正会員 東田 淳・非会員 新井 孝幸  
タキロン 正会員 日野林譲二

まえがき 最大100mの高盛土下に埋設される排水管の適切な設計法を構築するため、遠心実験によって変形挙動を調べている。今回は、砂による裏込めの有無、管の曲げ剛性 $S_p(=E_p t^3 / \{12(1-\nu_p^2)R^3\})$ 、 $E_p$ と $\nu_p$ は管材料のヤング率とポアソン比、 $t$ は管厚、 $R$ は管厚中心半径)、地盤材料、基盤と管底の距離 $H_s$ 、土被り高 $H$ を変化させた実験について報告する。なお実験の解析を別報1)に示したので併せて参照されたい。

実験方法 実験に用いた3種類の模型管(図-1、剛性の小さい順からF\*管、M\*管、R\*管とよぶ)の材質、寸法、曲げ剛性 $S_p$ を表-1に示す。F\*管とM\*管の材質は非線形性を持つポリエチレンなので、両管の $S_p$ 値は、管頂・管底への集中線荷重載荷試験(温度20°C)で得られた荷重～たわみ曲線のたわみ量1mmにおける割線勾配から定めた。これらの模型管を、乾燥砂による裏込めが有無の2通りの設置方式(図-2)で、リユベリケーションを施した容器に2~3本埋め(図-3)、これを10gずつ100gまで遠心載荷し、各段階で管の鉛直たわみ量 $\Delta D$ と

管壁に生じる曲げひずみ $\epsilon$ の分布を測定した。なお、F\*管とM\*管に貼付した曲げひずみ測定用ゲージ(東京測器FLA-1-23)の出力には、管から切り出したダンベル供試体の引張り試験によって求めたゲージ率(それぞれ1.44と2.08)を乗じて補正した。裏込め部は表-2に示すS0(乾燥砂)をロートによって流し込んで作成した。また、管頂から10cm上までの盛土部は、表-2に示すS16(まさ土)、S30(シルト質砂)、S44(粘土質砂)を仕上がり層厚2cmで締固めて作成し、その上に鉛の散弾を敷いた。なお、模型作成方法の詳細は別報2)の図-3を参照されたい。実験条件を表-3に示す。表中の $H/D$ は散弾重量を地盤重量に置き換えた換算土被り高である。全実験数は27である。

実験結果 盛土材料S30・裏込め有りの場合のたわみ率 $\delta(=\Delta D/2R)$ と原型管の外径 $D_p(=D \times n)$ 、ここに $D$ : 模型管の外径、 $n$ : 遠心加速度/重力加速度)の関係を図-4a( $H_s/D=2$ )、b( $H_s/D=0$ )に示す。なお、 $\delta$ は1g場を初期値とする増分で

キーワード: 高盛土、排水管、遠心模型実験、管剛性、変形

連絡先: 大阪市住吉区杉本3-3-138、大阪市立大学工学部土木工学科、東田 淳 (Tel & Fax 06-6605-2725)

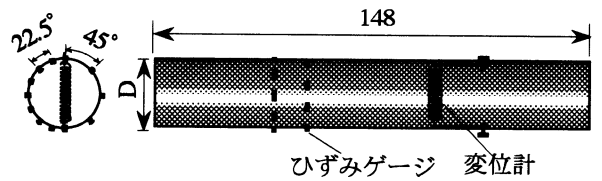


図-1 模型管 (unit:mm)

表-1 管の諸元

管	材質	D (mm)	t (mm)	$E_p$ (kgf/cm <sup>2</sup> )	$\nu_p$	$S_p$ (kgf/cm <sup>2</sup> )
F*	HDPE	23.01	0.94	9132	0.4	0.56
M*	MDPE	23.52	2.18	3668	0.4	2.66
R*	硬質アルミ	23.52	1.25	758420	0.33	100.2

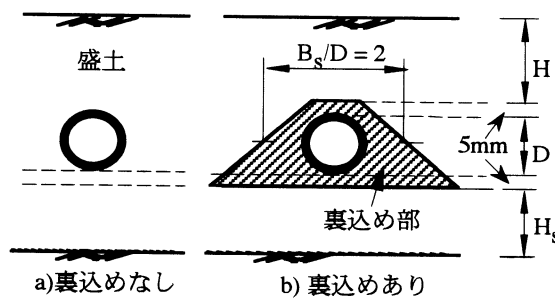


図-2 埋設形式

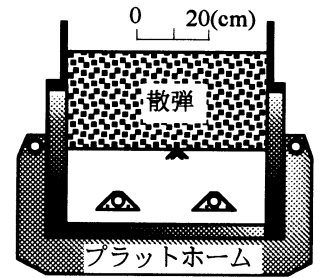


図-3 実験装置

表-2 地盤材料の性質

地盤材料 <sup>1)</sup>	$G_s$	$U_c$	$\rho_d$ max (g/cm <sup>3</sup> )	$\rho_d$ min (g/cm <sup>3</sup> )	$w_{opt}$ (%)	$w$ (%)	$\rho_d$ (g/cm <sup>3</sup> )	$D_r$ (%)	$c_d$ (kgf/cm <sup>2</sup> )	$\phi_d$ (°)
S0	2.65	1.75	1.58	1.32	—	0	1.43 <sup>2)</sup>	47	0	37
							1.55 <sup>3)</sup>	90	0	43
S16	2.71	70	1.92	1.42	11.4	10	1.70	63	0.23	38
S30	2.67	115	1.86	1.29	13.5	12	1.70	79	0.46	32
S44	2.67	>500	1.79	1.31	16.2	14	1.60	68	— <sup>4)</sup>	— <sup>4)</sup>

1)材料名に付した数値は細粒分含有率を表す。2)Loose。

3)Dense。4)未試験。

表-3 実験条件

盛土	裏込め	$H_s/D$	$H/D$
S30	Loose	2・0	4・17・31・44
	Dense	2	44
	なし	2・0	4・17・44
S16	Loose	2	4・17・31・44
	Loose	0	44
S44	Loose	2	4・17・31・44
	Loose	0	44

表してある。どの場合もH/DならびにD<sub>p</sub>が大きくなるにつれてδが増える。H<sub>s</sub>/D=2・100g場のε増分の分布を図-5に示す。図の横軸は管頂を原点にとって測った角度である。図から、M\*管とR\*管は楕円形に、また剛性が最小のF\*管は四角形にそれぞれ変形していることが分かる。δとεの測定精度が高いことは、測定εの分布を用いて仮想仕事の原理により求めたδと測定δの一致によって確めた。

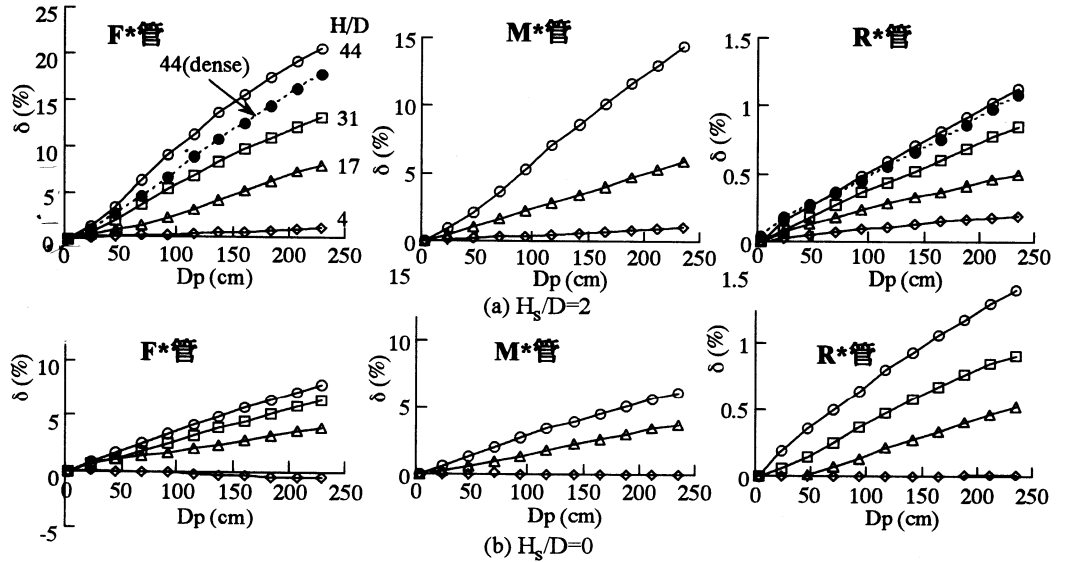


図-4 δ~D<sub>p</sub>関係(盛土材料S30・裏込めあり)

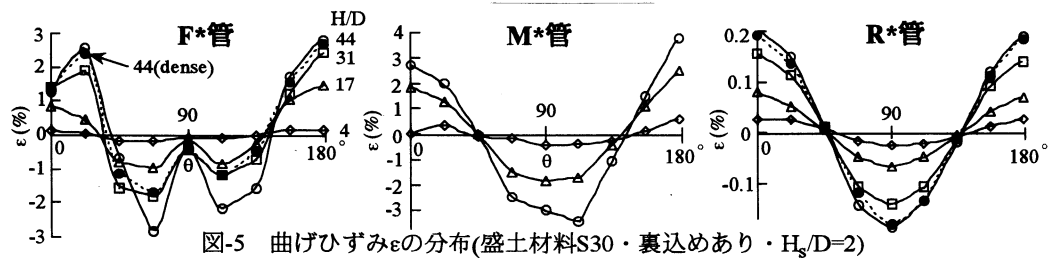


図-5 曲げひずみεの分布(盛土材料S30・裏込めあり・H<sub>s</sub>/D=2)

**各要因の影響** 全実験で得られた100g場のδの増分とS<sub>p</sub>の関係、および原型換算した管頂の曲げモーメントM<sub>p</sub>の増分とS<sub>p</sub>の関係を盛土材料別に図-6、7に示す。いずれもa図がH<sub>s</sub>/D=2、b図がH<sub>s</sub>/D=0の場合を表す。これらの図から次のことが分かる。

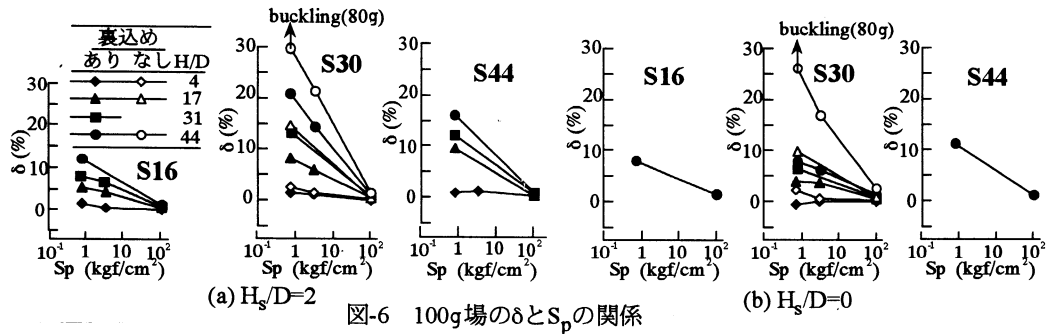


図-6 100g場のδとS<sub>p</sub>の関係

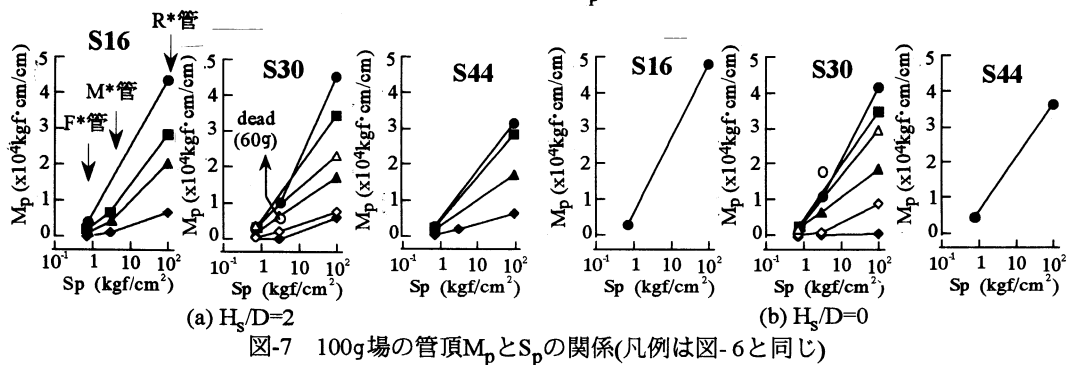


図-7 100g場の管頂M<sub>p</sub>とS<sub>p</sub>の関係(凡例は図-6と同じ)

- 1) S<sub>p</sub>が大きいほど、当然δは減る。
- 2) 盛土材料の細粒分

含有率が高いほどδは大きい。ただしS44・H<sub>s</sub>/D=2・H/D≥31の実験では地盤下部で飽和度が1を超えるため、この傾向から外れる。3) H<sub>s</sub>/D=2のδは、H<sub>s</sub>/D=0のδに比べてF\*管とM\*管では大きい。一方、R\*管では値はごく小さいが、これと逆の傾向を示す。4) 裏込めが無い場合のδは、裏込めが有る場合のδよりもかなり大きい。5) 管頂M<sub>p</sub>は、S<sub>p</sub>が大きいほど大きい。また、H<sub>s</sub>/D=0の管頂M<sub>p</sub>はH<sub>s</sub>/D=2の管頂M<sub>p</sub>よりも大きい(1例を除く)。

**参考文献** 1) 日野林他、高盛土下に埋設される排水管の変形挙動(弾性FEM解析)、土木学会第55回年講。2) 徳増他、遠心模型による盛土型埋設排水管の土圧・変形挙動観測、土木学会第55回年講。